

РОССИЙСКАЯ АКАДЕМИЯ НАУК

СИБИРСКОЕ ОТДЕЛЕНИЕ

А В Т О М Е Т Р И Я

№ 1

1996

УДК 681.332:778.38

С. М. Борзов, В. И. Козик, О. И. Потатуркин

(Новосибирск)

АДАПТИВНЫЙ МЕТОД РАСПОЗНАВАНИЯ
МАЛОРАЗМЕРНЫХ ИЗОБРАЖЕНИЙ С ИТЕРАЦИОННОЙ
ОБРАБОТКОЙ КОРРЕЛЯЦИОННЫХ ФУНКЦИЙ

Предложен адаптивный метод распознавания малоразмерных изображений, основанный на итерационной процедуре определения параметров системы признаков. Рассматриваются системы с элементами нейронной сети для его реализации. В результате цифрового моделирования получено значительное повышение дискриминантных свойств формируемой системы признаков за счет использования в итерационном процессе как значений отсчетов, так и информации о структуре авто- и кросскорреляционных функций. Показана инвариантность метода к различным условиям освещенности и в значительной степени к ракурсным преобразованиям распознаваемых изображений.

Проблема распознавания образов является одной из наиболее актуальных и многоплановых в области создания искусственного интеллекта. К настоящему времени в общем виде она не решена, однако в конкретных прикладных задачах широкое распространение получили методы, основанные на применении корреляционного анализа [1] для определения меры близости распознаваемых и эталонных изображений (РИ и ЭИ соответственно). При этом с целью повышения дискриминантных свойств системы признаков предложено дополнительно осуществлять апостериорную обработку корреляционных функций с помощью локальных дифференциальных операторов и формировать таким образом модифицированную систему признаков [2, 3]. Данный подход позволяет повысить возможность выделения острых автокорреляционных пиков относительно более низкочастотных кросскорреляционных функций [4]. Тем не менее при распознавании близких изображений или изображений с небольшим числом элементов разрешения (менее 32×32) алгоритмы, основанные на корреляционном анализе, становятся малоэффективными. Дело в том, что при наличии даже малого шума максимальные значения авто- и кроскорреляционных функций могут незначительно отличаться друг от друга и увеличение их отношения за счет апостериорной обработки недостаточно для существенного повышения достоверности распознавания. Следовательно, актуальным становится исследование принципиально других подходов к этой проблеме.

Одними из наиболее перспективных в данной области являются нейросетевые методы обработки информации, значительно повышающие эффективность процесса распознавания за счет применения глобальных связей и итерационных процедур обучения и обработки.

В [5] предложен вариант двухслойной нейроподобной системы, где в каждом слое глобальные связи обеспечивают интегральные преобразования изображений, а в первом из них дополнительно имеется подслой с локальными

связями для дифференциальной апостериорной обработки. В процессе обработки после ряда итераций РИ преобразуется в наиболее близкое ЭИ, в результате чего определяется класс распознаваемого изображения. Однако, как показывает практика, применение в итерационном процессе только вторичной системы признаков и потеря в явном виде информации о корреляционной мере близости приводят в ряде случаев к ошибкам распознавания.

Дальнейшее увеличение дискриминантных свойств корреляционных методов распознавания изображений предлагается осуществить за счет совместного использования в итерационном процессе исходной $g_n(r)$ и модифицированной $\tilde{g}_n(r)$ систем признаков, где r — двумерные пространственные координаты, сопряженные с координатами входного поля наблюдения, n — номер итерации. Такой подход позволяет полнее использовать входную информацию, так как одновременно обеспечивает учет значений корреляционных функций РИ и ЭИ и их высокочастотных составляющих. При этом на каждой итерации пространство признаков является двумерным — $\{\tilde{g}_n(r), g_n(r)\}$, а область, соответствующая определенному классу РИ, формируется в процессе обучения нейронной сети.

В качестве одной из эффективных процедур предлагается итерационная обработка вида

$$g_{n+1}(r) = \alpha_n [g_n(r) - \beta_n \tilde{g}_n(r)] \tilde{g}_n(r), \quad (1)$$

где α_n и β_n — регулируемые коэффициенты на данной итерации; $g_1(r)$ — функция корреляции РИ и ЭИ; $\tilde{g}_1(r)$ — результат ее апостериорной обработки. При этом процесс обучения сводится к определению оптимальной последовательности коэффициентов $\{\alpha_n, \beta_n\}$. Отметим, что в дальнейшем для удобства изложения, за исключением особых случаев, обозначение аргумента функций будет опущено.

Конкретные значения коэффициентов α_n и β_n определяют область G_n^+ в пространстве $\{\tilde{g}_n, g_n\}$, где происходит усиление g_n , т. е. $g_{n+1} > g_n$. Ее граница находится из соотношения $\alpha_n(g_n - \beta_n \tilde{g}_n) \tilde{g}_n = g_n$ и имеет вид

$$g_n = \alpha_n \beta_n \tilde{g}_n^2 / (\alpha_n \tilde{g}_n - 1). \quad (2)$$

Соответственно в остальной области пространства признаков G_n^- происходит подавление g_n ($g_{n+1} < g_n$).

Вид функции $g_n(\tilde{g}_n)$ представлен на рис. 1. Прямые $\tilde{g}_n = 1/\alpha_n$ и $g_n = \beta_n \tilde{g}_n$ являются асимптотами этой функции, а ее минимум равен $(2/\alpha_n, 4\beta_n/\alpha_n)$. С увеличением α_n функция (2) приближается к асимптотам, а ее минимум — к началу координат вдоль прямой $g_n = 2\beta_n \tilde{g}_n$. Максимальные значения g_{n+1} принимает на прямой $g_n = 2\beta_n \tilde{g}_n$, где

$$g_{n+1} = \frac{\alpha_n}{4\beta_n} g_n^2.$$

Таким образом, выбор α_n определяет минимальные значения величин g_n и \tilde{g}_n , обеспечивающих режим усиления ($g_{n+1} > g_n$), а выбор β_n — такое соотношение между ними, при котором g_{n+1} максимально. Отметим, что при

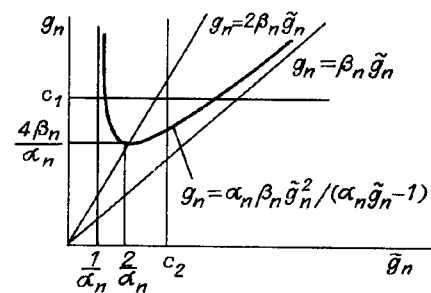


Рис. 1

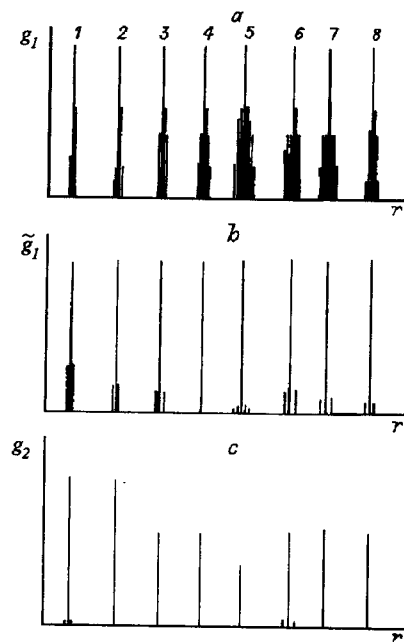


Рис. 2

$g_n = \text{const} = c_1$ и $\tilde{g}_n = \text{const} = c_2$ сечения g_{n+1} имеют соответственно следующий вид:

$$g_{n+1} = \frac{\alpha_n}{\beta_n} \left[\frac{c_1^2}{4} - \left(\frac{c_1}{2} - \beta_n \tilde{g}_n \right)^2 \right],$$

$$g_{n+1} = \alpha_n c_2 g_n - \alpha_n \beta_n c_2^2.$$

Рассмотрим последовательно процедуру обработки, выполняемой в соответствии с (1). На первой итерации определяется функция $g_2(r)$, которая, в свою очередь, используется на второй итерации. Ее апостериорная обработка позволяет получить новое пространство признаков $\{\tilde{g}_2, g_2\}$. Поскольку форма функции $g_2(r)$ отличается от формы $g_1(r)$, в результате итерации происходит не только усиление/подавление g_1 , но и изменение \tilde{g}_1 . Благодаря этому существенно увеличивается возможность разделения распознаваемых изображений на классы. При этом изменение \tilde{g}_1 зависит не от положения конкретной точки в пространстве признаков на предыдущей итерации (т. е. не от величины $g_1(r)$ и $\tilde{g}_1(r)$), а от окрестности $g_1(r \pm \Delta r)$ в корреляционном поле. Таким образом, на каждой последующей итерации расширяется вовлекаемая в обработку окрестность корреляционных отсчетов, размер которой определяется областью задания применяемых локальных операторов и количеством итераций. Следовательно, происходит более детальный многократный анализ структуры авто- и кросскорреляционных функций, за счет чего повышаются дискриминантные свойства итерационно формируемой системы признаков. Причем определяемый в результате обучения набор коэффициентов (α_n, β_n) обеспечивает адаптацию процесса обработки к особенностям входной информации.

Для иллюстрации предложенного метода синтезированы тестовые корреляционные функции различной формы $g_1^i(r)$, содержащие восемь одинаковых пиков $g_1^i = 50$ с соответствующими им равными высокочастотными составляющими $\tilde{g}_1^i = 20$ (для апостериорной обработки использован оператор Лапласа с областью задания 3×3 элемента), где i — номер корреляционной функции (распознаваемого объекта). Сечение функций $g_1^i(r)$ через центры пиков приведено на рис. 2, a. Поскольку признаки всех восьми объектов попадают в одну

Таблица 1

n	α_n	β_n	g_n^1 \tilde{g}_n^1	g_n^2 \tilde{g}_n^2	g_n^3 \tilde{g}_n^3	g_n^4 \tilde{g}_n^4	g_n^5 \tilde{g}_n^5	g_n^6 \tilde{g}_n^6	g_n^7 \tilde{g}_n^7	g_n^8 \tilde{g}_n^8
1	0,1	1,225	50 20							
2	0,08	0,9	50 34	50 36	50 45	50 45	50 50	50 45	50 45	50 45
3			50 47	47 44	30 30	30 30	19 19	30 30	30 30	30 30

Таблица 2

n	α_n	β_n	g_n^1 \tilde{g}_n^1	g_n^2 \tilde{g}_n^2	g_n^3 \tilde{g}_n^3	g_n^4 \tilde{g}_n^4	g_n^5 \tilde{g}_n^5	g_n^6 \tilde{g}_n^6	g_n^7 \tilde{g}_n^7	g_n^8 \tilde{g}_n^8
1	0,133	1,533	50 20							
2	0,0465	0,581	48 33	48 33	48 43	48 43	48 48	48 43	48 43	48 43
3	0,0435	0,5	44 43	44 42	46 46	46 46	44 44	46 45	46 45	46 46
4	0,0435	0,5	42 42	42 42	46 46	46 46	42 42	45 45	45 45	46 46
5	0,0435	0,5	38 38	38 38	46 46	46 46	38 38	44 44	44 44	46 46
6	0,0444	0,5	31 31	31 31	46 46	46 46	31 31	42 42	42 42	46 46
7	0,0444	0,5	21 21	21 21	47 47	47 47	21 21	39 39	39 39	47 47
8	0,0444	0,5	9 9	9 9	49 49	49 49	9 9	33 33	33 33	49 49
9			1 1	1 1	53 53	53 53	1 1	24 24	24 24	53 53

точку пространства $\{\tilde{g}_1, g_1\}$, в результате преобразования (1) после первой итерации значения g_2^i для всех объектов остаются одинаковыми. Однако так как окрестности этих пиков различны, становятся различными значения \tilde{g}_2^i , поэтому при переходе к пространству признаков $\{\tilde{g}_2, g_2\}$ соответствующие точки распределяются по линии вдоль оси \tilde{g}_2 .

Рассмотрим пример такого преобразования с коэффициентами $\alpha_1 = 0,1$, $\beta_1 = 1,225$, значения которых выбраны так, чтобы исходная точка в пространстве признаков $\{\tilde{g}_1, g_1\}$ попала на границу раздела областей (2), т. е. после

Таблица 3

n	α_n	β_n	g_n^1 \tilde{g}_n^1	g_n^2 \tilde{g}_n^2	g_n^3 \tilde{g}_n^3	g_n^4 \tilde{g}_n^4	g_n^5 \tilde{g}_n^5	g_n^6 \tilde{g}_n^6	g_n^7 \tilde{g}_n^7	g_n^8 \tilde{g}_n^8
3	0,0444	0,511	44 43	44 42	46 46	46 46	44 44	46 45	46 45	46 46
4	0,0435	0,5	42 42	42 42	45 45	45 45	42 42	46 46	46 46	45 45
5	0,0435	0,5	38 38	38 38	44 44	44 44	38 38	46 46	46 46	44 44
6	0,435	0,5	31 31	31 31	42 42	42 42	31 31	46 46	46 46	42 42
7	0,0444	0,5	20 20	20 20	38 38	38 38	20 20	46 46	46 46	38 38
8		0,5	1 1	1 1	23 23	23 23	1 1	50 50	50 50	23 23

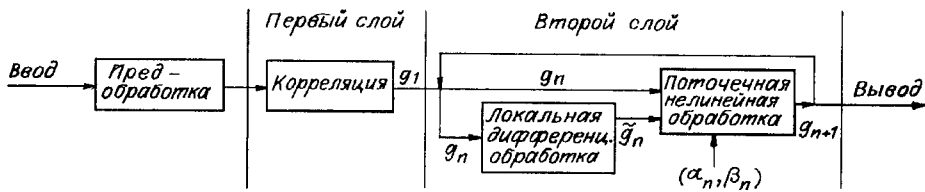


Рис. 3

преобразования (1) значение g_1^i не изменилось. На рис. 2, *b* представлено сечение функций g_2^i , а на рис. 2, *c* — результаты второй итерации, т. е. сечение функций g_3^i , с $\alpha_2 = 0,08$, $\beta_2 = 0,9$, которые заданы для выделения первого и второго объектов. Соответствующие данные представлены в табл. 1, где в верхнем ряду каждой строки приведены значения функций g_n^i , а в нижнем — \tilde{g}_n^i . Видно, что уже после двух итераций значения признаков первых двух объектов приблизительно в 1,5 раза превышают все остальные.

В процессе обучения последовательность коэффициентов (α_n, β_n) может быть настроена на корреляционные функции другой формы (при равенстве всех g_1^i и \tilde{g}_1^i). Тогда в результате итерационной обработки происходит усиление g_n^i соответствующих объектов. Например, последовательность $\alpha_1 = 0,133, \beta_1 = 1,533; \alpha_2 = 0,0465, \beta_2 = 0,581$ позволяет отобрать группу объектов 3, 4, 6, 7, 8 (вторая и третья строки табл. 2), которая при дальнейшей обработке может быть либо выделена целиком, либо частично (группы 3, 4, 8 или 6, 7). Наборы значений (α_n, β_n) и (g_n, \tilde{g}_n) дальнейших шести итераций для этих двух случаев представлены соответственно в табл. 2 и 3. Отсюда видно, что выбором (за счет обучения) коэффициентов (α_n, β_n) можно в широком диапазоне менять набор выделяемых объектов даже при равенстве соответствующих значений системы признаков на первой итерации.

Блок-схема нейроподобной системы, реализующей предложенный метод, приведена на рис. 3. Как и в [5], она состоит из двух слоев, однако каждый из них обладает другими функциями. В первом осуществляется корреляционная

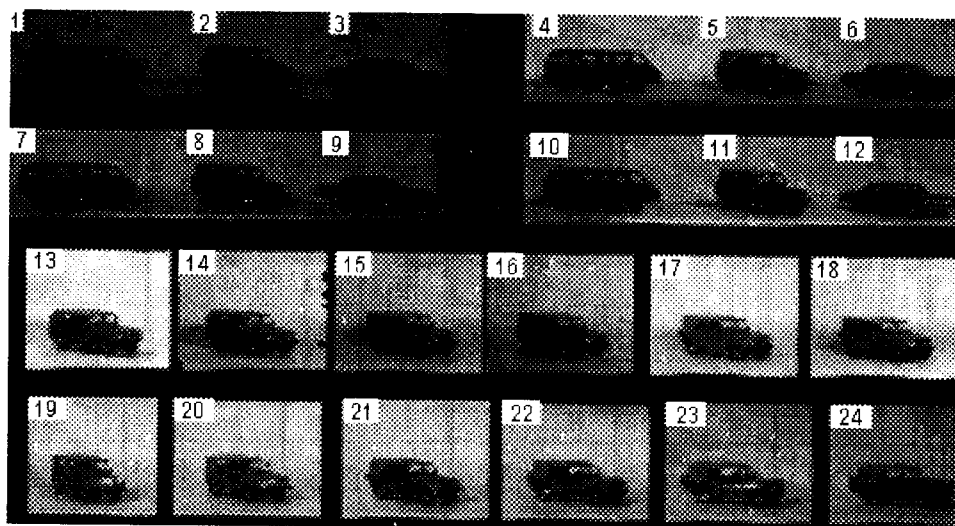


Рис. 4

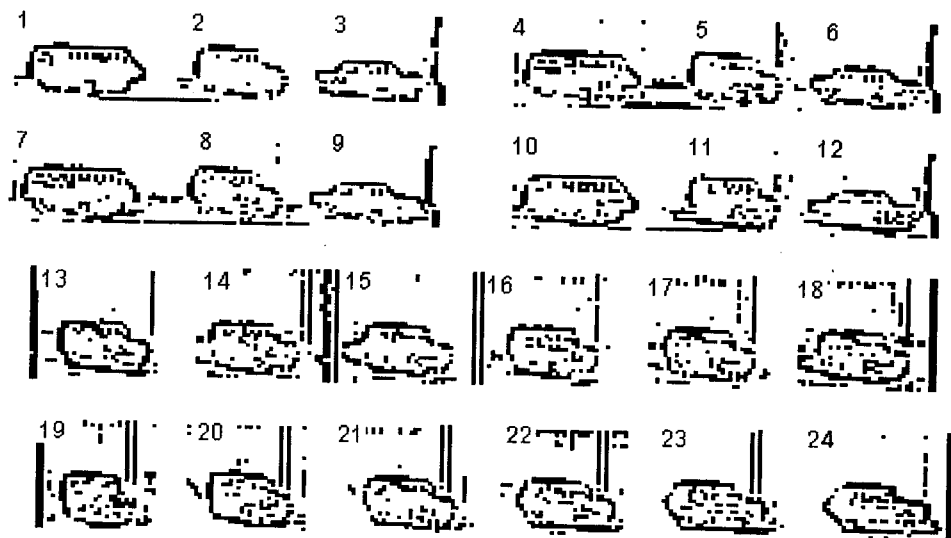


Рис. 5

обработка для определения исходной системы признаков, а во втором, с элементами нейронной сети, многократно выполняется итерационная процедура (1) с коэффициентами, полученными в результате обучения.

Системы подобной конфигурации могут быть созданы различными способами. Так, в качестве первого слоя, где процесс обработки ведется со скоростью поступления входной информации, т. е., как правило, в телевизионном темпе с числом глобальных связей $(1000 \times 32)^2$ и более без их оперативного (потактового) изменения, целесообразно использовать высокопроизводительные оптико-электронные корреляторы на принципах дифракционной оптики в частично-когерентном свете [6, 7]. Такие гибридные процессоры обеспечивают большую полосу пропускания, инвариантность в широких пределах к про-

Таблица 4

n	α_n	β_n	g_n^1 \tilde{g}_n^1	g_n^2 \tilde{g}_n^2	g_n^3 \tilde{g}_n^3	g_n^4 \tilde{g}_n^4	g_n^5 \tilde{g}_n^5	g_n^6 \tilde{g}_n^6	g_n^7 \tilde{g}_n^7	g_n^8 \tilde{g}_n^8	g_n^9 \tilde{g}_n^9	g_n^{10} \tilde{g}_n^{10}	g_n^{11} \tilde{g}_n^{11}	g_n^{12} \tilde{g}_n^{12}
1	0,105	1,079	40 19	29 11	42 20	38 19	34 12	47 21	29 13	31 10	38 15	41 15	33 7	51 26
2	0,133	1,0	39 31	19 16	42 31	35 27	26 21	53 43	20 16	21 16	34 20	39 31	18 14	62 50
3	0,071	0,661	33 27	6 5	45 36	28 22	14 12	57 46	8 6	10 8	37 28	33 27	8 6	63 49
4	0,065	0,597	29 25	0 0	54 47	21 18	5 4	63 50	1 0	2 1	37 31	29 25	1 1	63 49
5	0,067	0,583	22 20	0 0	63 58	11 10	0 0	63 51	0 0	0 0	37 33	22 21	0 0	63 47
6	0,08	0,5	13 13	0 0	63 61	3 3	0 0	63 51	0 0	0 0	39 38	13 13	0 0	63 55
7			6 6	0 0	63 63	0 0	0 0	63 51	0 0	0 0	57 57	6 6	0 0	63 55

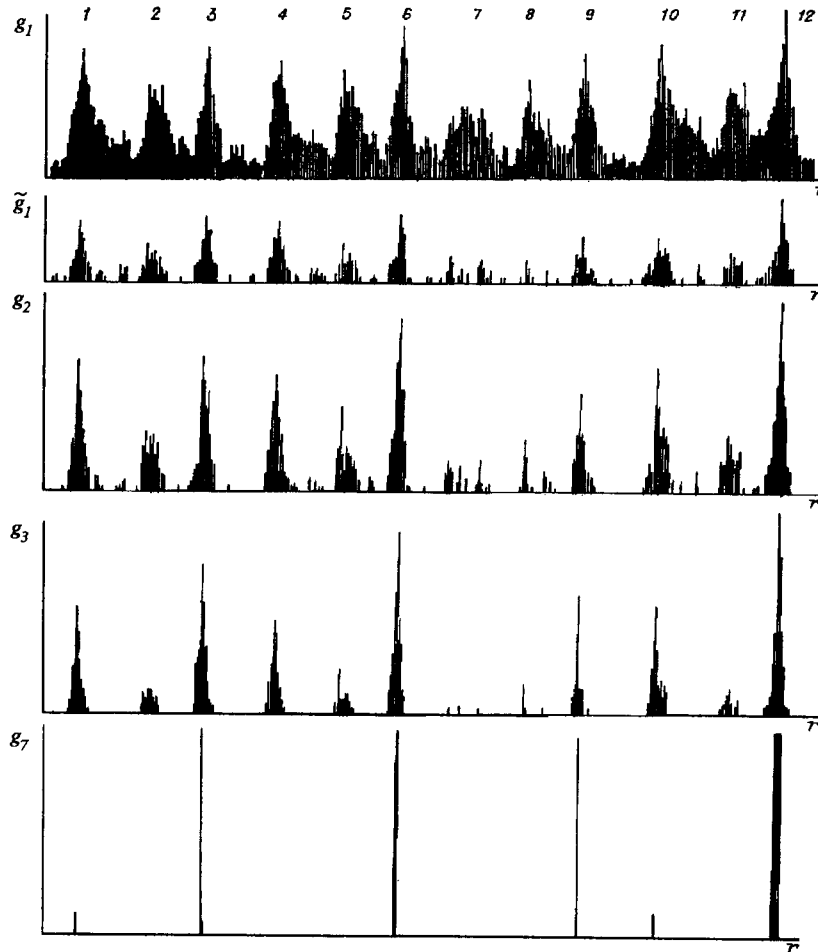


Рис. 6

дольным и поперечным сдвигам оптических элементов и высокие эксплуатационные характеристики [8, 9]. Альтернативные варианты заключаются в применении различного рода цифровых вычислительных систем, в первую очередь параллельных вычислительных сред с сигнально-транспьютерными компонентами [10]. Второй же слой, где выполняются локальная дифференциальная и поточечная нелинейная обработка с коэффициентами (α_n, β_n), оперативно изменяемыми при необходимости на каждой итерации, наиболее адекватно реализуется цифровыми электронными средствами.

Исследование эффективности предложенного адаптивного метода распознавания проведено путем цифрового моделирования, включая процедуру обучения (определение последовательности коэффициентов α_n, β_n), в режиме обработки малоразмерных изображений реальных объектов трех классов. При этом РИ вводились в компьютер сканирующей камерой на базе фотодиодной линейки при различных условиях освещения и ракурсах. Угол места составлял $\sim 6^\circ$, а дискретность изменения азимутального угла $\sim 12^\circ$. Количество элементов разрешения на один объект не превышало 32×32 .

Для формирования ЭИ использовались четыре изображения каждого класса, зарегистрированные при различных условиях освещения. Они оконтуривались модифицированным оператором Собела [11] с последующей адаптивной пороговой обработкой. Полученные четыре бинарных контура

Таблица 5

n	α_n	β_n	g_n^1 \tilde{g}_n^1	g_n^2 \tilde{g}_n^2	g_n^3 \tilde{g}_n^3	g_n^4 \tilde{g}_n^4	g_n^5 \tilde{g}_n^5	g_n^6 \tilde{g}_n^6	g_n^7 \tilde{g}_n^7	g_n^8 \tilde{g}_n^8	g_n^9 \tilde{g}_n^9	g_n^{10} \tilde{g}_n^{10}	g_n^{11} \tilde{g}_n^{11}	g_n^{12} \tilde{g}_n^{12}
1	0,2	1,65	33 12	38 17	21 8	32 8	35 4	24 8	37 16	34 12	21 6	34 13	44 20	27 8
2	0,077	0,635	31 24	33 26	13 9	30 23	36 24	17 14	33 25	34 28	13 10	32 24	44 35	22 17
3	0,071	0,554	29 25	33 28	5 4	27 21	38 32	8 7	32 25	34 30	5 4	30 23	58 49	14 12
4	0,064	0,532	27 24	35 31	0 0	23 19	46 42	2 2	32 27	37 33	0 0	28 22	63 52	6 5
5	0,061	0,5	22 20	37 35	0 0	15 12	63 60	0 0	30 27	41 38	0 0	23 19	63 53	1 1
6	0,057	0,5	14 13	41 40	0 0	6 5	63 61	0 0	27 26	50 48	0 0	15 14	63 54	0 0
7	0,057	0,5	5 5	48 48	0 0	1 0	63 63	0 0	20 20	63 62	0 0	6 6	63 55	0 0
8	0,04	0,5	0 0	63 63	0 0	0 0	63 63	0 0	11 11	63 63	0 0	1 1	63 55	0 0
9			0 0	63 63	0 0	0 0	63 63	0 0	2 2	63 63	0 0	0 0	63 55	0 0

каждого класса совмещались по центрам масс, после чего элементы ЭИ определялись по совпадению, как минимум, трех соответствующих точек.

В качестве РИ использовалась матрица изображений, приведенная на рис. 4, где два верхних ряда содержат по две тройки объектов каждого класса, третий ряд — шесть изображений второго класса при различных условиях освещенности (одного ракурса), а нижний ряд — шесть изображений того же класса в различных ракурсах (при одинаковых условиях освещения). Все они также оконтуривались модифицированным оператором Собела с последую-

Таблица 6

n	α_n	β_n	g_n^{13} \tilde{g}_n^{13}	g_n^{14} \tilde{g}_n^{14}	g_n^{15} \tilde{g}_n^{15}	g_n^{16} \tilde{g}_n^{16}	g_n^{17} \tilde{g}_n^{17}	g_n^{18} \tilde{g}_n^{18}	g_n^{19} \tilde{g}_n^{19}	g_n^{20} \tilde{g}_n^{20}	g_n^{21} \tilde{g}_n^{21}	g_n^{22} \tilde{g}_n^{22}	g_n^{23} \tilde{g}_n^{23}	g_n^{24} \tilde{g}_n^{24}
1	0,2	1,65	58 30	57 34	51 26	48 25	50 24	50 23	35 11	39 12	52 26	38 11	35 11	33 8
2	0,077	0,635	51 39	43 38	49 38	40 32	53 43	56 45	37 27	46 33	48 37	43 33	37 29	31 22
3	0,071	0,554	63 47	55 51	63 51	48 41	63 51	63 51	41 35	63 52	63 50	55 45	41 36	28 24
4	0,064	0,532	63 52	63 59	63 49	63 58	63 52	63 52	54 50	63 54	63 50	63 51	54 52	25 24
5	0,061	0,5	63 53	63 60	63 54	63 59	63 54	63 53	63 61	63 55	63 49	63 47	63 63	18 18
6			63 54	63 62	63 55	63 61	63 55	63 55	63 62	63 55	63 55	63 55	63 63	9 9

щей бинаризацией адаптивным порогом. Результат предобработки представлен на рис. 5.

Первоначально определялась корреляционная мера близости РИ всех классов (первые две строки на рис. 4) с каждым из трех ЭИ. Этого оказалось достаточно, чтобы распознать изображения первого класса. Однако ни исходная, ни модифицированная системы признаков по отдельности не позволили однозначно распознать все РИ. В качестве примера в верхнем ряду табл. 4 представлены максимальные значения авто- (объекты 3, 6, 9, 12) и кросскорреляционных (остальные объекты) отсчетов и их высокочастотных составляющих для всех 12 изображений с ЭИ третьего класса. Видно, что, пользуясь такими признаками, девятое РИ выделить относительно изображений других классов не удается. Однако уже после второй итерации происходит разделение сигналов по величине (вторая и третья строки табл. 4), а после шестой кросскорреляционные функции подавляются практически полностью, тогда как автокорреляционные достигают максимума (динамический диапазон составляет 64). Эта же информация в графическом виде (сечения функций g_1 , \tilde{g}_1 , g_2 , g_3 , g_7 через их условные центры) представлена на рис. 6. В табл. 5 приведены аналогичные данные для ЭИ второго класса, которому соответствуют объекты 2, 5, 8 и 11. В этом случае также не удается распознать по исходной или модифицированной системам признаков восьмое РИ, однако после восьми итераций осуществляется полное выделение изображений второго класса.

Определенный в процессе обучения (по двум верхним строкам РИ) набор коэффициентов (α_n , β_n) второго класса использовался также при итерационной обработке изображений, представленных в двух нижних строках матрицы (см. рис. 4), согласно процедуре (1). Для РИ различной освещенности (объекты 13—18) это должно привести к выравниванию значений системы признаков и, следовательно, обеспечить инвариантность распознавания изображений к этому фактору. Согласно табл. 6, такой эффект достигнут уже после проведения пяти итераций. Естественно, что для РИ различных ракурсов (объекты 19—24) этого добиться в полной мере не удалось и выравнивание (с усилением) значений системы признаков происходило лишь в определенном угловом диапазоне РИ при их подавлении вне его. Полученные данные (см. табл. 6) позволили определить для заданного угла места и размерности РИ такой диапазон ($\pm 24^\circ$ по азимуту), тогда как после первой итерации он не превышал $\pm 12^\circ$.

Таким образом, в работе предложен адаптивный метод распознавания малоразмерных изображений, основанный на итерационной процедуре определения параметров системы признаков с оперативно перестраиваемыми коэффициентами, полученными в результате обучения. Их выбор позволяет в широком диапазоне менять набор выделяемых объектов даже при равенстве соответствующих значений системы признаков на первой итерации. С помощью цифрового моделирования продемонстрировано значительное повышение дискриминантных свойств формируемой системы признаков за счет более полного использования как значений отсчетов, так и информации о структуре авто- и кросскорреляционных функций. Показана инвариантность метода к различным условиям освещенности распознаваемых изображений. Для конкретного случая определена степень инвариантности процесса распознавания к ракурсным преобразованиям РИ.

СПИСОК ЛИТЕРАТУРЫ

1. Василенко Г. И. Голографическое опознавание образов. М.: Сов. радио, 1977.
2. Гофман М. А., Козик В. И., Потатуркин О. И., Фельдбуш В. И. Распознавание изображений в гибридной оптико-электронной системе с оперативным вводом // Оптико-электронные методы обработки изображений /Под ред. С. Б. Гуревича. Л.: Наука, 1982.
3. Mercle F., Lorch T. Hybrid optical-digital pattern recognition // Appl. Opt. 1984. 23. P. 1509.
4. Потатуркин О. И., Худик В. Н. Апостериорная дифференциальная обработка корреляционной функции // Оптическая и цифровая обработка изображений. Л.: Наука, 1988.

5. Kozik V. I., Potaturkin O. I. Image recognition by means of two-layer holographic neural network // Proc. SPIE. 1994. 2430. P. 27.
6. Василенко Г. И., Цибулькин Л. М. Голографические распознающие устройства. М.: Радио и связь, 1985.
7. Potaturkin O. I. Incoherent diffraction correlator with a holographic filter // Appl. Opt. 1979. 18. P. 4203.
8. Козик В. И., Потатуркин О. И. Исследование влияния продольных сдвигов голограммического фильтра на взаимный масштаб коррелируемых изображений // Автометрия. 1987. № 2.
9. Козик В. И., Опарин А. Н., Потатуркин О. И. Исследование характеристик голограммического коррелятора, сопряженного с видеопроцессором // Автометрия. 1988. № 6.
10. Васьков С. Т., Выюхин В. Н., Коршевер И. И. Открытые системы реального времени // Информатика и вычислительная техника. 1995. Вып. 1, 2.
11. Прэтт У. Цифровая обработка изображений. М.: Мир, 1982. Т. 2.

Поступила в редакцию 5 декабря 1995 г.

Реклама продукции в нашем журнале — залог Вашего успеха!